

## К АНАЛИЗУ ПРИСПОСОБЛЯЕМОСТИ НЕРАВНОМЕРНО НАГРЕТЫХ УПРУГО-ПЛАСТИЧЕСКИХ ТЕЛ

В. И. Розенблюм (Ленинград)

В теории приспособляемости имеют фундаментальное значение известные теоремы Мелана и Койтера (см., например, [1]), совместное использование которых, в принципе, позволяет получать двусторонние оценки приспособляющих нагрузок. Отметим, что в приложениях нашла применение пока лишь теорема Мелана.

Для некоторых областей техники значительный интерес представляют переменные режимы, обусловленные наличием нестационарных температурных полей. Приспособляемость неравномерно нагретых тел и соответствующее обобщение теоремы Мелана рассматривались в работах [2-6] и др. В настоящей работе предлагается аналогичное обобщение теоремы Койтера и рассматриваются некоторые возможные приемы приближенного анализа, основанные на этой теореме.

1. Пусть упруго-идеально-пластическое тело подвергается воздействию нагрузок, изменяющихся между заданными пределами, и нестационарной температуры  $\theta(x, y, z, t)$ , меняющейся в каждой точке между некоторыми заданными значениями. Обозначим через  $\sigma_{ij}^e(t)$ ,  $\varepsilon_{ij}^e(t)$  (фиктивное) термоупругое решение, отвечающее идеально упругому поведению.<sup>1</sup> Значения  $\sigma_{ij}^e(t)$ ,  $\varepsilon_{ij}^e(t)$  связаны зависимостью:

$$\varepsilon_{ij}^e = C_{ijhk} \sigma_{hk}^e + \delta_{ij} \alpha \theta \quad (1.1)$$

где  $C_{ijhk}$  — тензор упругости ( $C_{ijhk} = C_{hkij}$ ),  $\delta_{ij}$  — символ Кронекера.

Истинные (упруго-пластические) напряжения и деформации в любой момент времени можно представить в виде

$$\sigma_{ij} = \sigma_{ij}^e + \rho_{ij}, \quad \varepsilon_{ij} = \varepsilon_{ij}^e + e_{ij} \quad (1.2)$$

Здесь, согласно теореме о разгрузке,  $\rho_{ij}$ ,  $e_{ij}$  — (мгновенные) остаточные напряжения и деформации. Полную деформацию  $\varepsilon_{ij}$  можно также представить в виде

$$\varepsilon_{ij} = \varepsilon_{ij}' + \varepsilon_{ij}'' \quad (\varepsilon_{ij}' = C_{ijhk} \sigma_{hk} + \delta_{ij} \alpha \theta) \quad (1.3)$$

Здесь  $\varepsilon_{ij}'$ ,  $\varepsilon_{ij}''$  — упругая и пластическая составляющие.

Комбинируя зависимости (1.1) — (1.3), нетрудно установить, что остаточные напряжения и деформации удовлетворяют соотношению

$$e_{ij} = C_{ijhk} \rho_{hk} + \varepsilon_{ij}'' \quad (1.4)$$

Все введенные тензоры напряжений и деформаций являются медленно меняющимися функциями времени. Напряжения  $\sigma_{ij}$ ,  $\sigma_{ij}^e$  представляют собой статически возможные поля, уравновешенные мгновенными внешними нагрузками на поверхности и в объеме; остаточные напряжения  $\rho_{ij}$  образуют самоуравновешенное поле; деформации  $\varepsilon_{ij}$ ,  $\varepsilon_{ij}^e$ ,  $e_{ij}$  — кинематически возможны, т. е. они совместны, причем соответствующие поля смещений удовлетворяют принятым кинематическим краевым условиям<sup>1</sup> на поверхности; наконец, составляющие  $\varepsilon_{ij}''$  и  $\varepsilon_{ij}'$  не являются совместными.

При пластическом течении тела имеет место основное неравенство [1] (локальный принцип максимума)

$$(\sigma_{ij} - \sigma_{ij}^*) \varepsilon_{ij}'' > 0 \quad (1.5)$$

где  $\sigma_{ij}^*$  — произвольное напряженное состояние внутри поверхности текучести (точкой обозначено дифференцирование по времени).

Наряду с действительными пластическими деформациями  $\varepsilon_{ij}''(t)$ , рассмотрим некоторое произвольное поле пластических деформаций  $\varepsilon_{ij_0}''(t)$ , которое будем называть «допустимым», если приращения пластической деформации

$$\Delta \varepsilon_{ij_0}'' = \int_0^T \varepsilon_{ij_0}'' dt \quad (1.6)$$

подсчитанные за некоторый интервал времени  $T$ , образуют кинематически возможное поле. Положив в (1.4)  $\varepsilon_{ij}'' = \varepsilon_{ij_0}''(t)$ , найдем некоторое (единственное) распределение

<sup>1</sup> В дальнейшем будем рассматривать лишь случай, когда кинематические краевые условия (если такие условия заданы) соответствуют обращению в нуль некоторых компонент вектора смещения.

«сопровождающих» остаточных напряжений  $\rho_{ij_0}$ , остаточных деформаций  $\varepsilon_{ij_0}$  и остаточных смещений  $u_{i_0}$ <sup>1</sup>. Заметим, что вследствие условия (1.6) и соотношения (1.4) сопровождающие остаточные напряжения в конце цикла возвращаются к значениям, имевшим место в начале цикла

$$\rho_{ij_0} |_{t=0} = \rho_{ij_0} |_{t=T} \quad (1.7)$$

2. Теорему Койтера для случая неравномерно нагретого тела можно сформулировать следующим образом: приспособления не произойдет, если можно найти допустимый цикл скоростей пластической деформации  $\varepsilon_{ij_0}''''(t)$  и некоторую программу изменения нагрузок и температуры (в заданных пределах), при которых

$$\int_0^T dt \left\{ \int_V F_i u_{i_0} \dot{dv} + \int_{S_p} p_i u_{i_0} \dot{ds} + \int_V \alpha \theta \rho_{ii_0} \dot{dv} \right\} > \int_0^T dt \int_V W(\varepsilon_{ij_0}'''' ) dv \quad (2.1)$$

Напротив, система приспособится, если при всех допустимых циклах скоростей пластической деформации и при всевозможных изменениях нагрузок и температур (внутри заданных пределов) соотношение (2.1) будет выполняться с противоположным знаком неравенства. В (2.1) через  $W(\varepsilon_{ij_0}'''' )$  обозначена скорость пластической диссипации энергии на допустимых скоростях деформации  $\varepsilon_{ij_0}''''(t)$ .

Для доказательства первой части теоремы предположим, следуя [1], что хотя существует цикл, удовлетворяющий (2.1), приспособляемость имеет место. Тогда, согласно теореме Мелана для неравномерно нагретого тела [2,4], можно найти стационарное поле остаточных напряжений  $\rho_{ij}^*$  такое, что сумма

$$\sigma_{ij}^e + \rho_{ij}^* = \sigma_{ij}^* \quad (2.2)$$

нигде не превзойдет предел текучести. Согласно принципу виртуальных работ

$$\int_V F_i u_{i_0} \dot{dv} + \int_{S_p} p_i u_{i_0} \dot{ds} = \int_V \sigma_{ij}^* \varepsilon_{ij_0} \dot{dv} \quad (2.3)$$

Учитывая, что, согласно (1.4),

$$\varepsilon_{ij_0} = C_{ijhk} \rho_{hk_0} \dot{dv} + \varepsilon_{ij_0}'''' \quad (2.4)$$

и используя (2.2), представим правую часть (2.3) в виде

$$\int_V \sigma_{ij}^* \varepsilon_{ij_0} \dot{dv} = \int_V \sigma_{ij}^e C_{ijhk} \rho_{hk_0} \dot{dv} + \int_V \rho_{ij}^* C_{ijhk} \rho_{hk_0} \dot{dv} + \int_V \sigma_{ij}^* \varepsilon_{ij_0}'''' \dot{dv} \quad (2.5)$$

Первое слагаемое правой части преобразуем при помощи (1.1):

$$\int_V \sigma_{ij}^e C_{ijhk} \rho_{hk_0} \dot{dv} = \int_V \varepsilon_{ij}^e \rho_{ij_0} \dot{dv} - \int_V \alpha \theta \delta_{ij} \rho_{ij_0} \dot{dv} \quad (2.6)$$

В силу принципа виртуальных работ первое слагаемое в правой части тождественно равно нулю. Если теперь проинтегрировать соотношение (2.5) по времени от  $t = 0$  до  $t = T$ , то вследствие (1.2) обратится в нуль второе слагаемое правой части (2.5). В результате получим соотношение

$$\int_0^T dt \left\{ \int_V F_i u_{i_0} \dot{dv} + \int_{S_p} p_i u_{i_0} \dot{ds} + \int_V \alpha \theta \rho_{ii_0} \dot{dv} \right\} = \int_0^T dt \int_V \sigma_{ij}^* \varepsilon_{ij_0}'''' \dot{dv} \quad (2.7)$$

Наличие противоречия между (2.1) и (2.7), которое легко обнаруживается при помощи неравенства (1.5), доказывает первую часть теоремы. Вторая часть теоремы доказывается при помощи аналогичного обобщения доказательства Койтера.

3. Отметим следующее следствие: стационарные температурные поля не влияют на приспособляемость. Действительно, если  $\theta$  не зависит от времени, то температурное слагаемое в соотношении (2.1) принимает вид

$$\int_0^T dt \int_V \alpha \theta \rho_{ii_0} \dot{dv} = \int_V \alpha \theta [\rho_{ii_0}(t=T) - \rho_{ii_0}(t=0)] dv$$

<sup>1</sup> Для фактического построения этих полей необходимо, очевидно, решить крайнюю упругую задачу при нулевых нагрузках и заданных (нулевых) смещениях на поверхности, при наличии «наложенных» деформаций  $\varepsilon_{ij}''$ .

и обращается в нуль в силу условия цикличности (1.7). Очевидно, что приспособляемость не будет зависеть также от начальных и вообще от любых самоуравновешенных внутренних стационарных напряжений.

4. Как подчеркнуто в [1], расчет приспособляемости на базе как теоремы Мелана, так и теоремы Койтера связан с необходимостью весьма детального упругого анализа, что существенно усложняет решения по сравнению, например, с аналогичным применением теорем предельного равновесия. В частности, при использовании теоремы Койтера своеобразная упругая задача возникает в связи с необходимостью построения на основе зависимости (2.4) остаточных напряжений и деформаций, сопровождающих заданный пластический цикл  $\varepsilon_{ij_0}''(t)$ . Для устранения этой трудности можно предложить следующий прием. Задаем вначале кинематически возможное поле остаточных скоростей  $u_{i_0}$  и статически возможное поле скоростей остаточных напряжений  $\rho_{ij_0}$ . При этом автоматически определяется соответствующий допустимый цикл пластических скоростей деформации  $\varepsilon_{ij_0}''(t)$ , которые, согласно (2.4), будут иметь вид

$$\varepsilon_{ij_0}'' = 1/2 (u_{i_0, j} + u_{j_0, i}) - c_{ijhk} \rho_{hk_0} \quad (4.1)$$

Очевидно, что полученные распределения  $u_{i_0}$ ,  $\rho_{ij_0}$ ,  $\varepsilon_{ij_0}''$  удовлетворяют необходимым условиям и могут быть использованы для вычислений по соотношению (2.1).

5. Для иллюстрации изложенного приема рассмотрим следующую задачу. Тонкая пластинка произвольной формы в плане закреплена по контуру и находится под воздействием переменного температурного поля

$$\theta = \Phi(t) + \frac{z}{1/2h} \Psi(t) \quad (5.1)$$

где  $h$  — постоянная толщина пластинки,  $z$  отсчитывается от срединной плоскости по нормали, функции  $\Phi(t)$  и  $\Psi(t)$  произвольно и независимо изменяются в пределах

$$-\Phi_1 \leq \Phi(t) \leq \Phi_2, \quad -\Psi_1 \leq \Psi(t) \leq \Psi_2 \quad (5.2)$$

Не уменьшая общности, можно, согласно следствию, п. 3, ограничиться рассмотрением несколько более простого случая

$$0 \leq \Phi(t) \leq \Phi_0, \quad 0 \leq \Psi(t) \leq \Psi_0 \quad (5.3)$$

который приводится к предыдущему посредством наложения некоторого стационарного температурного поля. Начнем с выбора статически возможных сопровождающих остаточных напряжений, которые возьмем в виде

$$\rho_{x_0} = \rho_{y_0} = -\frac{E}{1-\nu} \mu^*(t) s(z) \quad (5.4)$$

$$\text{где (фиг. 1)} \quad (5.5)$$

$$\mu^* = 0 \text{ при } 0 \leq t \leq \tau, \quad \mu^* = 0 \text{ при } 1/2 T \leq t \leq \tau + 1/2 T$$

$$\mu^* = -1 \text{ при } \tau \leq t \leq 1/2 T, \quad \mu^* = 1 \text{ при } \tau + 1/2 T \leq t \leq T$$

а также

$$\begin{aligned} s(z) &= 1 \text{ при } z^* \leq z \leq 1/2 h \\ s(z) &= 0 \text{ при } -1/2 h \leq z \leq z^* \end{aligned} \quad (5.6)$$

Здесь  $z^*$  и  $\tau$  — произвольные постоянные, удовлетворяющие условиям

$$-1/2 h \leq z^* \leq 1/2 h, \quad 0 \leq \tau \leq 1/2 T \quad (5.7)$$

Простейшее кинематически возможное поле скоростей  $u_{i_0}$ , обращающихся в нуль на контуре, будет

$$u_{x_0} = u_{y_0} = 0$$

При этом скорости остаточных деформаций также тождественно обращаются в нуль, и, следовательно, согласно (4.1) (для изотропного материала), получим

$$\varepsilon_{x_0}'' = \varepsilon_{y_0}'' = \mu^*(t) s(z) \quad (5.8)$$

Остается задать цикл изменения температуры, который возьмем в форме

$$\Phi(t) = \Phi_0 \omega(t), \quad \Psi(t) = \Psi_0 \omega(t) \quad (5.9)$$

$$\text{где } \omega(t) = \frac{t}{1/2 T} \quad \left(0 \leq t \leq \frac{T}{2}\right), \quad \omega(t) = 2 - \frac{t}{1/2 T} \quad \left(\frac{T}{2} \leq t \leq T\right) \quad (5.10)$$

Подставляя выражения (5.4), (5.8), (5.9) в уравнение Койтера (2.1) (с заменой знака неравенства знаком равенства), после вычислений получим

$$\varphi_0 + \psi_0 \frac{1 + \zeta^*}{2} = 2 \frac{1/2 T}{\tau} \quad (5.11)$$

Здесь

$$\varphi_0 := \frac{E\alpha}{(1-\nu)\sigma_s} \Phi_0, \quad \psi_0 := \frac{E\alpha}{(1-\nu)\sigma_s} \Psi_0, \quad \zeta^* = \frac{z^*}{1/2 h}$$

Введем плоскость переменных  $\varphi_0\psi_0$ . Прямая (5.11) ограничивает на этой плоскости некоторую треугольную область  $OMN$  приспособляющих нагрузок (фиг. 2). Поскольку решение (5.11) является верхней оценкой, следует выбрать значения параметров  $\zeta^*$ ,  $\tau$ , приводящие к наиболее низкому положению этой границы. Учитывая ограничения (5.7), получим

$$\zeta^* = 1, \quad \tau = 1/2 T \quad (5.12)$$

При этом условии (5.11) принимает вид  $\varphi_0 + \psi_0 = 2$  (прямая  $AB$  на фиг. 2).

6. Для суждения о точности полученного решения найдем при помощи теоремы Мелана нижнюю границу приспособляющей нагрузки. Для этого следует найти стационарное поле остаточных напряжений, наложение которого на термоупругое решение привело бы к чисто упругому поведению.

Термоупругое решение задач имеет вид

$$\sigma_x^e = \sigma_y^e = -\frac{E\alpha}{1-\nu} \left[ \Phi(t) + \frac{z}{1/2 h} \Psi(t) \right] \quad (6.1)$$

Используя то обстоятельство, что напряжения (6.1) являются самоуравновешенными, возьмем остаточные напряжения в форме, аналогичной (6.1)

$$\rho_x^o = \rho_y^o = -\frac{E\alpha}{1-\nu} \left[ M + \frac{z}{1/2 h} N \right] \quad (M, N = \text{const})$$

Внося суммарные напряжения  $\sigma_x^e + \rho_x^o, \sigma_y^e + \rho_y^o$  в условие текучести Мизеса (или Треска), получим

$$\varphi + \zeta\psi = \pm 1 \quad \left( \varphi = \frac{E\alpha}{(1-\nu)\sigma_s} (\Phi - M), \psi = \frac{E\alpha}{(1-\nu)\sigma_s} (\Psi - N), \zeta = \frac{z}{1/2 h} \right) \quad (6.3)$$

На плоскости  $\varphi\psi$  уравнение (6.3) определяет при всевозможных значениях  $\zeta$  ( $-1 \leq \zeta \leq 1$ ) два однопараметрических семейства (пучка) прямых, проходящих через точки  $\psi = 0, \varphi = \pm 1$  (фиг. 3).

Крайние прямые пучков образуют квадрат  $abcd$ . Условия (5.3) ограничивают на плоскости  $\varphi, \psi$  некоторую прямоугольную область. Очевидно, что приспособляемость имеет место, если эта область вписывается в квадрат  $abcd$ . Из этого условия находим

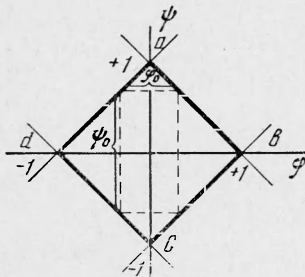
$$\varphi_0 + \psi_0 = 2 \quad (6.4)$$

Найденная нижняя граница (6.4) совпала с верхней границей (5.12), поэтому полученное решение будет точным.

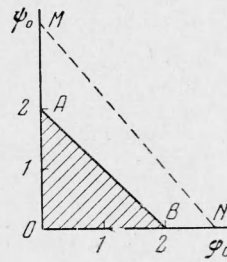
Поступила 23 I 1965

#### ЛИТЕРАТУРА

1. Койтер В. Т. Общие теоремы теории упруго-пластических сред. Изд. иностр. лит., 1961.
2. Розенблум В. И. О приспособляемости неравномерно нагретых упруго-пластических тел. Изв. АН СССР. ОТН, 1957, № 7.
3. Розенблум В. И. К теории приспособляемости упруго-пластических тел. Изв. АН СССР, ОТН, 1958, № 6.
4. Прагер В., Приспособляемость в упруго-пластической среде, подвергнутой диклам нагрузки и температуры. Механика. Сб. перев. и обз. ин. период. лит., 1958, № 5.
5. Прагер В., Расчет конструкций за пределом упругости при циклических температурных воздействиях. Механика. Сб. перев. и обз. ин. период. лит., 1957, № 3.
6. Гохфельд Д. А. Некоторые результаты экспериментального исследования приспособляемости при тепловых воздействиях. Сб. «Тепловые напряжения в элементах турбомашин». Изд-во АН УССР, 1962.



Фиг. 3



Фиг. 2